

## شبیه سازی و ساخت یک مبدل غیر ایزوله کاهنده در شرایط ZCS

ناهید همتیان نجف‌آبادی<sup>(۱)</sup> - مسعود جباری<sup>(۲)</sup>

(۱) کارشناس ارشد - دانشکده برق، دانشگاه آزاد اسلامی، واحد نجف‌آباد

(۲) استادیار - دانشکده برق، دانشگاه آزاد اسلامی، واحد نجف‌آباد

تاریخ پذیرش: پاییز ۱۳۹۲

تاریخ دریافت: زمستان ۱۳۹۱

**خلاصه:** در این مقاله یک مبدل رزونانسی کاهنده با بهره ولتاژمنفی و بازده بالا ارائه شده است. مبدل پیشنهادی ولتاژ ورودی را معکوس و کاهش می‌دهد. از تکنیک ZCS به منظور کاهش تلفات سوئیچینگ و تداخلات الکترومغناطیسی استفاده شده است. به منظور فراهم کردن شرایط سوئیچینگ نرم برای تمام المان‌های نیمه هادی، شبکه رزونانسی LLC مورد استفاده قرار گرفته است. نتایج عملی، بی‌نقص بودن عملکرد مبدل پیشنهادی و همچنین درستی آنالیز تئوری را تأیید می‌کند.

**کلمات کلیدی:** مبدل کاهنده معکوس، سوئیچینگ نرم، تبدیل توان رزونانسی، ZCS، منبع تغذیه.

## Simulation and Implementation a Non-Isolated Buck Converter at ZCS Condition

Nahid Hematian<sup>(1)</sup> - Masoud Jabari<sup>(2)</sup>

(1) MSc - Electrical Engineering Department, Najafabad Branch, Islamic Azad University  
mrshematian@yahoo.com

(2) Assistant Professor - Electrical Engineering Department, Najafabad Branch, Islamic Azad University  
jabbari.univ@gmail.com

A new soft-switching resonant inverting-buck converter with high efficiency is presented. The proposed converter steps down and inverts the input voltage. The zero-current-switching (ZCS) technique is employed to reduce switching losses and Electromagnetic Interferences (EMI). An LLC resonant network is utilized to provide soft-switching conditions for all semiconductor devices. Experimental results verify the integrity of the proposed converter operation and the presented theoretical analysis.

**Index Terms:** Inverting- buck converter; soft-switching; resonant power conversions; ZCS; power supply.

## ۱- مقدمه:

مزیت اصلی مبدل‌های رزناسی کاهش چشمگیر در سایز المان‌های پسیو می‌باشد [۱۸-۱۶].

در مبدل‌های رزناسی سری (SRC) المان‌های پسیو مبدل شامل فقط یک تانک رزناسی فرکانس بالا و یک خازن فیلترینگ در خروجی می‌باشد [۱۵،۱۴] محدودیت اصلی و مهم مبدل‌های رزناسی مرسوم این است که زمین مشترک بین ترمینال‌های ورودی و خروجی وجود ندارد. از اینرو این مبدل‌ها بیشتر برای اهداف ایزوله شده به کار برده می‌شوند. استفاده از یک ترانسفورمر به منظور ایجاد زمین مشترک، برای کاربردهای فوق‌الذکر به نظر غیر منطقی می‌رسد.

این مقاله یک مبدل جدید سوئیچینگ نرم رزناسی از نوع کاهنده با پلاریته ولتاژ خروجی منفی را ارائه می‌دهد. المان‌های پسیو فقط شامل یک تانک رزناسی LLC فرکانس بالا و یک خازن فیلترینگ در خروجی می‌باشد. از آنجایی که مبدل پیشنهادی زمین مشترک بین ترمینال‌های ورودی و خروجی دارد، برای کاربردهای غیر ایزوله مناسب است همه المان‌های نیمه هادی تحت شرایط سوئیچینگ نرم در لحظات سوئیچینگ روشن و خاموش شدن مستقل از جریان بار و ولتاژ عملکرد عمل می‌کنند. بر خلاف مبدل‌های RSCs، بهره ولتاژ قابل تنظیم و تعداد المان‌های کمتری به کار برده شده است. در مقایسه با مبدل‌های ذکر شده در [۲۰]-[۱۹] یک سلف رزناسی کوچک اضافه شده است (LLC)؛ اگر چه تعداد دیودها از ۴ عدد در [۱۹] به یک عدد در این مقاله کاهش پیدا کرده است که همین امر تلفات هدایتی کمتر و هزینه پایین‌تر را نتیجه می‌دهد. علاوه بر این سلف اضافه شده، مانع به وجود آمدن اسپایک جریان در بازوی پل مرسوم (که به علت پدیده بازیافت معکوس شدید در دیودهای موازی - معکوس سوئیچ‌ها به وجود می‌آیند) می‌شود.

مبدل به گونه‌ای طراحی شده که می‌تواند توان خروجی را محدود کند و به صورت اتوماتیک در برابر اتصال کوتاه خروجی خاموش شود. نتایج آزمایشگاهی از یک نمونه 10 W/100 KHZ، بی نقص بودن عملکرد و آنالیز تئوری ارائه شده را تأیید می‌کند.

## ۲- آنالیز مبدل در فضای زمان

شکل (۱) توپولوژی مبدل پیشنهادی معکوس کننده باک را نشان می‌دهد که توسط دو سوئیچ  $Q_1$ ،  $Q_2$ ، یک شبکه رزناسی LLC ( $C_r$ ،  $L_{r2}$ ،  $L_{r1}$ )، دیود یکسوساز  $D_r$  و خازن فیلترینگ خروجی C ساخته شده است. مدار معادل و شکل موج‌ها در حالت پایدار به ترتیب در شکل‌های (۲) و (۳) نشان داده شده است.

مبدل‌های سوئیچینگ به طور گسترده برای تبدیل توان DC-DC به کار برده می‌شوند زیرا که در این مبدل‌ها، فرکانس عملکرد به طور قابل ملاحظه‌ای افزایش یافته و در نتیجه آن اندازه و وزن مبدل کاهش می‌یابد. تقویت کننده‌های عملیاتی، حافظه‌های دینامیکی فقط خواندنی، میکروپروسورها، سیستم‌های اکتساب داده و مازول‌های ارتباطات راه دور، از جمله تجهیزات و سیستم‌هایی هستند که در آنها یک منبع رگوله شده با ولتاژ منفی مورد نیاز می‌باشد. در این کاربردها، بسیار لازم است که تلفات و اندازه مبدل کاهش یافته و ایزولاسیون مورد نیاز نمی‌باشد.

تکنیک‌های سوئیچینگ نرم به منظور کاهش تلفات سوئیچینگ و تداخلات الکترومغناطیسی (EMI) توسعه پیدا کردند. در شرایط سوئیچینگ نرم می‌توان فرکانس سوئیچینگ را افزایش داد که همین امر باعث افزایش چگالی توان مبدل می‌شود. این شرایط عموماً با تکنیک‌های ZVS و یا ZCS به دست می‌آید [۲۰-۱].

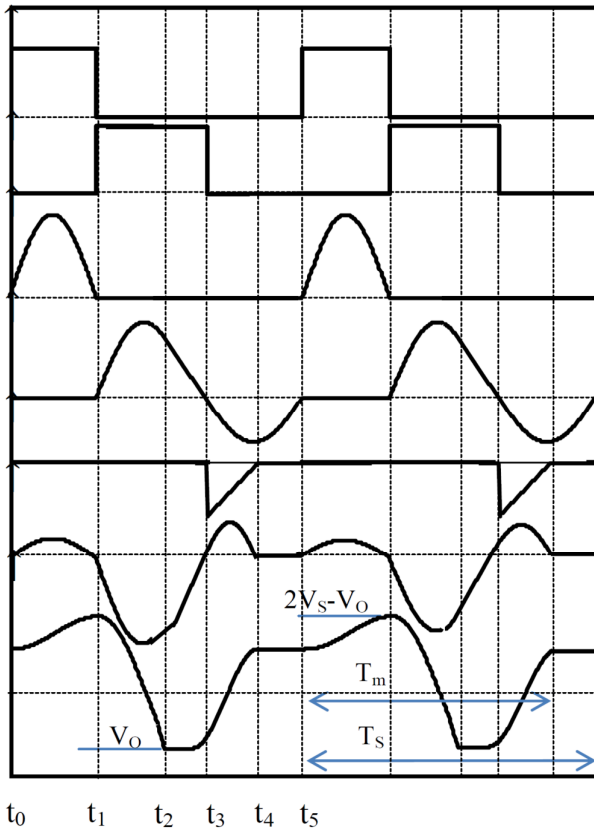
برای فراهم کردن یک ولتاژ منفی رگوله شده، مبدل افزایشنده کاهنده با مدولاسیون پهنای باند و مبدل‌های سوئیچ خازنی به طور کلاسیک به کار برده می‌شوند.

مبدل‌های افزایشنده - کاهنده شبه رزناسی، خانواده‌ای از مبدل‌های سوئیچینگ نرم افزایشنده - کاهنده با مدولاسیون پهنای باند می‌باشند که در آنها از تانک رزناسی فرکانس بالا به منظور کاهش تلفات سوئیچینگ استفاده شده است. مزیت اصلی این تکنیک المان‌های اضافی کمتر می‌باشد. به هر حال دو سلف مورد نیاز است که سلف اصلی مبدل نسبتاً بزرگ می‌باشد. علاوه بر این، استرس ولتاژ سوئیچ بیشتر از مبدل‌های با مدولاسیون پهنای باند (PWM) است [۵-۲].

مبدل‌های سوئیچ خازنی (SCCs) برای طراحی تراشه‌ها جالب هستند زیرا که در آنها از جزء مغناطیسی استفاده نشده است. عیب اصلی این مبدل‌ها اسپایک جریان است که علت آن، شارژ و دشارژ خازن‌های مدار از طریق فقط مقاومت‌های پارازیتی سوئیچ‌ها، می‌باشد. جابجایی توان خیلی کم و EMI زیاد از نتایج این نوع عملکرد می‌باشند [۷،۶]. مبدل‌های سوئیچ خازنی رزناسی (RSCs) خانواده دیگری از مبدل‌های SCC می‌باشند که در آنها جریان سوئیچ‌ها، با قرار دادن یک سلف کوچک به صورت سری با خازن‌های سوئیچینگ کنترل می‌شود [۱۳-۶]. هر چند در این مبدل‌ها نه تنها بهره ولتاژ مبدل قابل تنظیم نمی‌باشد [۱۳]، بلکه با تغییرات بار عوض می‌شود [۹]. برای فراهم کردن یک بهره ولتاژ کوچک، بایستی از دیودها و خازن‌های زیادی استفاده کرد که این امر باعث افزایش اندازه، قیمت و تلفات هدایتی می‌گردد [۸،۹]. مبدل‌های رزناسی، خانواده‌ای از مبدل‌های سوئیچینگ نرم می‌باشند که در آنها انرژی از طریق یک تانک رزناسی فرکانس بالا انتقال می‌یابد و سوئیچینگ در لحظات عبور صفر جریان و یا ولتاژ انجام می‌پذیرد.

$$t_1 - t_0 = \frac{\sqrt{\alpha} T_r}{2} \quad (7)$$

$$V_r(t_1) = (2 - A) \quad (8)$$



شکل ۲- شکل موج های کلیدی در حالت ماندگار

Fig. (2): Steady-state key waveforms

#### مد ۲ (t1-t2):

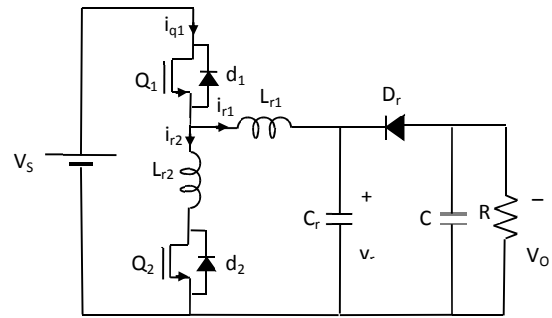
با توجه به شکل (۳)، سوئیچ Q2 در لحظه t1 تحت شرایط ZCS روشن می‌شود. پلاریته ولتاژ Cr از طریق رزونانس با Lr1 و Lr2 شروع به معکوس شدن می‌کند تا اینکه در لحظه t2، ولتاژ رزونانسی Vr به مقدار -V0 می‌رسد.

$$I_{r1}(t) = (A - 2) \sin(\omega_r(t - t_1)) \quad (9)$$

$$V_r(t) = (2 - A) \cos(\omega_r(t - t_1)) \quad (10)$$

$$t_2 - t_1 = \frac{1}{\omega_r} \left[ \pi - \cos^{-1} \frac{A}{2 - A} \right] \quad (11)$$

$$I_r(t_2) = -2\sqrt{1 - A} \quad (12)$$



شکل (۱): توپولوژی مبدل پیشنهادی باک

Fig. (1): Proposed buck converter topology

کمیت‌ها به صورت زیر تعریف شده‌اند.

$$L_r = L_{r1} + L_{r2}, \quad \alpha = \frac{L_{r1}}{L_r} \quad (1)$$

$$\omega_r = \frac{1}{\sqrt{L_r C_r}}, \quad f_r = \frac{1}{2\pi \sqrt{L_r C_r}} \quad (2)$$

$$A = \frac{V_o}{V_s} \quad (3)$$

$$Z_r = \sqrt{\frac{L_r}{C_r}} \text{ و } r = \frac{R}{Z_r}$$

$$I_{r1}(t) = \frac{i_{r1}(t)}{V_s/Z_r} \quad (4)$$

$$V_r(t) = \frac{v_r(t)}{V_s} \text{ و}$$

به منظور تحلیل ساده‌تر، المان‌های مدار ایده ال فرض شده‌اند و خازن خروجی به قدر کافی بزرگ فرض شده که ولتاژ خروجی در طی یک سیکل سوئیچینگ ثابت فرض شود. جریان اولیه همه سلف‌ها صفر و ولتاژ اولیه خازن رزونانسی Cr برابر V0 می‌باشد. مطابق زیر مدار دارای پنج مد عملکرد می‌باشد.

#### مد ۱ (t0-t1):

همان‌طور که در شکل (۳) ملاحظه می‌شود در لحظه t0 سوئیچ Q1 روشن است چون جریان اولیه سلف، صفر می‌باشد. مطابق با KCL، تحت شرایط ZCS روشن می‌باشد. سلف رزونانسی Lr2 مانع ایجاد اسپایک جریان در لحظه روشن شدن سوئیچ Q1 می‌شود که در ساختار پل مرسوم به علت پدیده بازیافت معکوس شدید دیود موازی معکوس Q2 و خازن خروجی‌اش به وجود می‌آید. بعد از یک نیم‌سیکل سینوسی، جریان سوئیچ Q1 به مقدار صفر رسیده و بنابر این سوئیچ تحت ZCS خاموش می‌شود. در طول این مد Cr تا مقدار 2Vs - V0 شارژ می‌شود.

$$I_{r1}(t) = \frac{(1 - A)}{\sqrt{\alpha}} \sin\left(\frac{\omega_r}{\sqrt{\alpha}}(t - t_0)\right) \quad (5)$$

$$V_r(t) = 1 - (1 - A) \cos\left(\frac{\omega_r}{\sqrt{\alpha}}(t - t_0)\right) \quad (6)$$

$$V_r(t_4) = V_o \quad (20)$$

مد ۵ (t<sub>4</sub>-t<sub>5</sub>):

در این مد، Q<sub>1</sub> و Q<sub>2</sub> خاموش‌اند و بار از طریق خازن خروجی تغذیه می‌شود. طول مدت این مد با کنترلر مشخص می‌گردد به طوری که رگولاسیون ولتاژ مناسبی به دست آید (کنترل زمان مرده).

### ۳- بهره ولتاژ

در شرایط ماندگار بهره ولتاژ مبدل می‌تواند با پایداری اصل بقای انرژی در طی یک سیکل سوئیچینگ مطابق (۲۱) محاسبه شود. با جایگذاری رابطه (۵) در (۲۱) و ساده سازی، رابطه (۲۲) حاصل می‌شود که در آن f<sub>s</sub>=1/T<sub>s</sub> فرکانس سوئیچینگ می‌باشد.

$$\int_{t_0}^{t_1} V_s i_{r1} dt = \frac{V_o^2}{R} T_s \quad (21)$$

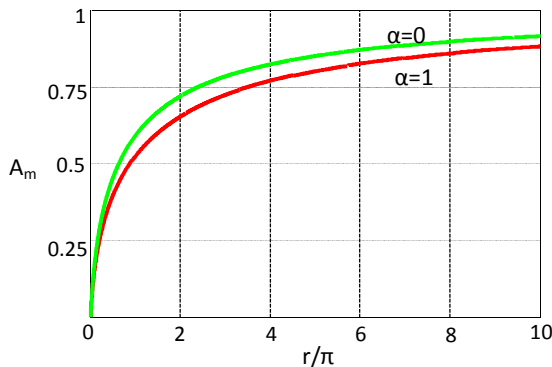
$$S = \frac{r}{\pi} \cdot \frac{f_s}{f_r} = \frac{A^2}{1-A} \quad (22)$$

در فقدان زمان مرده (مد ۵) مبدل قابلیت جابجایی ماکزیمم توان را دارد و همچنین در این شرایط فرکانس سوئیچینگ بیشترین مقدار را دارد و بیشینه بهره ولتاژ A=A<sub>m</sub> در این وضعیت به دست می‌آید. مدت زمان لحظه t<sub>0</sub> تا t<sub>4</sub> با پارامتر T<sub>m</sub> تعریف می‌شود. با استفاده از روابط (۱۹)، (۱۵)، (۱۱) و (۷) رابطه زیر حاصل می‌شود.

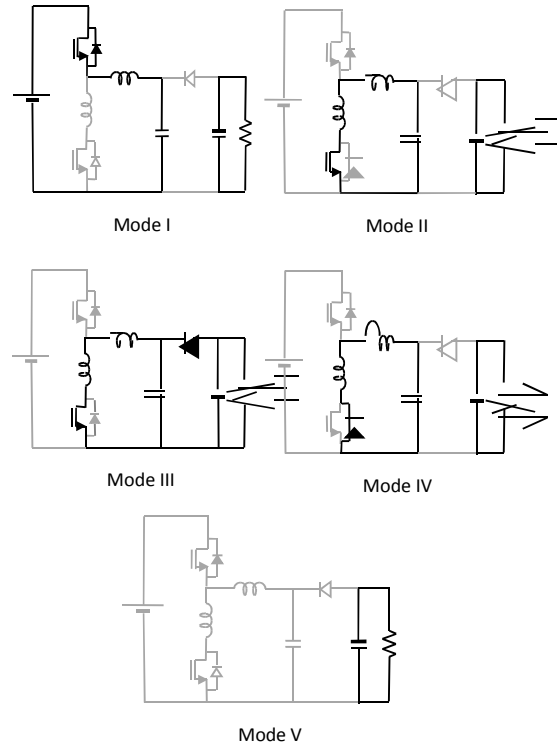
(۲۳)

$$\frac{T_m}{T_r} = 1 + \frac{\sqrt{\alpha}}{2} + \frac{1}{\pi} \left[ \frac{\sqrt{1-A}}{A} - \frac{1}{2} \cos^{-1} \frac{A}{2-A} \right]$$

با جایگذاری f<sub>s</sub>=T<sub>m</sub><sup>-1</sup> در رابطه (۲۲)، رابطه (۲۴) حاصل می‌شود که در واقع A<sub>m</sub> تابعی از r می‌باشد. این رابطه برای طراحی مبدل مورد نیاز است. نمودار A<sub>m</sub> بر حسب r/π در شکل (۴) ترسیم شده است.



شکل (۴): نمودار ماکزیمم بهره ولتاژ به دست آمده بر حسب r/π  
Fig. (4): Maximum attainable voltage gain against r/π



شکل (۳): مدار معادل مبدل باک پیشنهادی

Fig. (3): Equivalent circuits of the proposed buck converter

### مد ۳ (t<sub>2</sub>-t<sub>3</sub>):

در لحظه t<sub>2</sub> دیود D<sub>r</sub> بایاس مستقیم می‌شود و ولتاژ C<sub>r</sub> در مقدار -V<sub>O</sub> کلمپ می‌شود. انرژی مغناطیسی ذخیره شده در L<sub>r1</sub> و L<sub>r2</sub> از طریق این دیود به خروجی داده می‌شود. با دی مغناطیس کردن L<sub>r1</sub> و L<sub>r2</sub> در لحظه t<sub>3</sub> سوئیچ Q<sub>2</sub> و دیود D<sub>r</sub> هر دو تحت ZCS خاموش می‌شوند، که در شکل (۳) نشان داده شده است.

$$I_{r1}(t) = I_{r1}(t_2) + A \omega_r (t_3 - t_2) \quad (13)$$

$$V_r(t) = -A \quad (14)$$

$$t_3 - t_2 = \frac{2\sqrt{1-A}}{A \omega_r} \quad (15)$$

$$I_r(t_3) = 0 \quad (16)$$

### مد ۴ (t<sub>3</sub>-t<sub>4</sub>):

در این مد (شکل ۳) دیود موازی معکوس سوئیچ Q<sub>2</sub> در ZCS بایاس مستقیم می‌شود و بنابراین پلاریته ولتاژ C<sub>r</sub> از طریق رزنانس با L<sub>r1</sub> و L<sub>r2</sub> معکوس می‌شود. می‌توان در هر زمانی در طول این مد سیگنال گیت سوئیچ Q<sub>2</sub> را ریست کرد.

$$I_{r1}(t) = A \sin(\omega_r (t - t_1)) \quad (17)$$

$$V_r(t) = -A \cos(\omega_r (t - t_1)) \quad (18)$$

$$t_4 - t_3 = \frac{T_r}{2} \quad (19)$$

(۷۰)

$$\omega_r = 2\pi f_r \quad \text{و} \quad C_r = \frac{1}{\omega_r \times Z_r}$$

$$\omega_f = \frac{1}{\sqrt{L_r C_r}} \quad , \quad f_r = \frac{1}{2\pi \sqrt{L_r C_r}}$$

$$L_r = L_{r1} + L_{r2} \quad , \quad \alpha = \frac{L_{r1}}{L_r}$$

#### گام چهارم:

میزان خازن خروجی و ریپل آن از طریق شبیه سازی مشخص می گردد. (می توان به صورت حدودی آن را ۳۰۰ برابر خازن رزنانس در نظر گرفت). می بایستی با در نظر گرفتن طراحی سوئیچ های به کار رفته تعیین شود.

#### مثال:

یک مبدل ۱۰W به ازای ولتاژ ورودی  $48V \pm 10\%$  و ولتاژ خروجی  $36V \pm 10\%$  با حاشیه امنیت ۱۰٪ و فرکانس رزنانس ۱۰۰ KHZ در نظر گرفته شده است.

حل: مبدل با اعمال پروسه فوق الذکر به ازای چندین مقدار  $\alpha$  طراحی شده است. در اینجا پارامتر  $\alpha$  جهت بهینه سازی بازده مبدل استفاده شده است. شکل (۵) تغییرات بازده مبدل به ازای تغییرات  $\alpha$  را نشان می دهد این منحنی با شبیه سازی مبدل در نرم افزار ORCAD PSpice به دست آمده است.

مطابق با شکل (۵) به ازای  $\alpha = 0.8$  بازده بیشترین مقدار را دارد. سپس المان های مبدل مطابق زیر محاسبه می شوند.

$$C = 33 \mu f \quad \text{و} \quad C_r = 144 \text{ nf} \quad \text{و} \quad L_{r1} = 14.03 \mu H \quad \text{و} \quad L_{r2} = 3.50 \mu H$$

#### ۵- نتایج شبیه سازی

در این قسمت مبدل طراحی شده در بخش قبل با نرم افزار orcad شبه سازی شده است.

#### ۶- نتایج عملی

سوئیچ های به کار رفته  $Q_1 = \text{IRF640}$ ،  $Q_2 = \text{IRF540}$  و  $D_r = \text{BYT56}$  می باشند. هر دو سلف از نوع هسته فریت هستند و خازن رزنانسی از نوع MKP می باشد. زمان محافظ بین خاموش شدن  $Q_2$  و روشن شدن  $Q_1$  حدود ۴۰۰ ns در نظر گرفته شده است. نتایج عملی برای نمونه طراحی شده به ازای  $P_{out} = 10W$  در شکل (۸) مشاهده می شود.

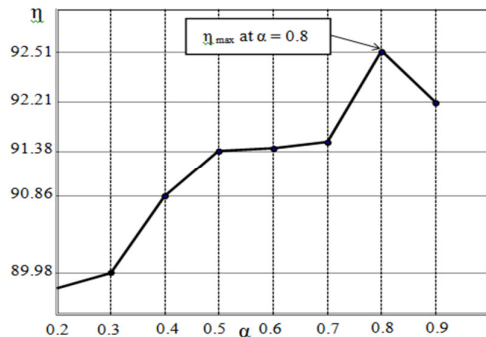
$$r = \frac{A_m^2}{1 - A_m} \left[ \pi + \frac{\pi \sqrt{\alpha}}{2} + \frac{\sqrt{1 - A_m}}{A_m} - \frac{1}{2} \cos^{-1} \frac{A_m}{2 - A_m} \right] \quad (24)$$

در مدار اتصال کوتاه خروجی، مقدار A صفر می باشد و بنابراین مطابق با رابطه (۲۳) مقدار  $T_m$  بینهایت می شود.

از آنجایی که  $T_m$  کمترین زمان سوئیچینگ است انتقال توان وقتی خروجی اتصال کوتاه می شود به طور اتوماتیک متوقف می شود (حفاظت در برابر اتصال کوتاه).

#### ۴- روند طراحی

از پارامتر  $\alpha$  می توان به عنوان یک درجه آزادی برای بهینه سازی مبدل استفاده کرد. برای یک مقدار معلوم از  $\alpha$ ، طراحی مبدل مطابق زیر انجام شده است.



شکل (۵): نمودار ماکزیمم فرکانس قابل دستیابی به ازای  $\alpha$   
Fig. (5): Maximum attainable efficiency against  $\alpha$

#### گام اول:

برای طراحی باید داده های توان مبدل ( $P_{out}$ )، ولتاژ ورودی ( $V_s$ ) و خروجی ( $V_o$ ) و میزان تغییرات آنها و فرکانس رزنانس ( $F_r$ ) را داشته باشیم. با مشخص بودن ولتاژ ورودی و میزان تغییرات (20%) و ولتاژ خروجی و میزان ریپل آن (1%)، ماکزیمم بهره ولتاژ قابل دستیابی مطابق با رابطه  $A_m = V_o / V_{Smin}$  به دست می آید.

#### گام دوم:

با جایگذاری  $A_m = A_{max}$  از نمودار  $A_m$  بر حسب  $r$ ، بار نرمالیزه شده  $r$  محاسبه می شود. با مشخص بودن توان خروجی و ولتاژ خروجی، حداکثر مقاومت بار از رابطه  $R = \frac{V_o^2}{1.2 \times P_{out}}$  تعیین می گردد. ضریب 1.2 جهت طراحی بهینه در نظر گرفته شده است. (over design) و همچنین خواهیم داشت  $Z_r = \frac{R}{r}$ .

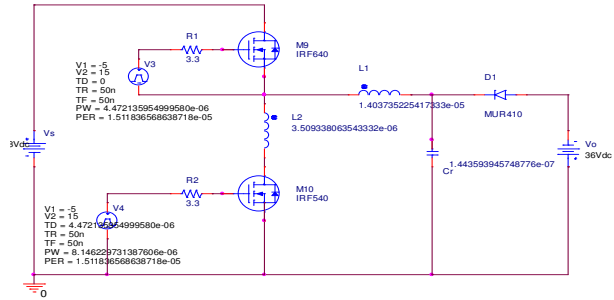
#### گام سوم:

با مشخص بودن فرکانس رزنانس،  $C_r$  و  $L_{r1}$  و  $L_{r2}$  مشخص می گردند.

جریان صفر خاموش می‌شود. رینگ ولتاژ سوئیچ‌ها در لحظات خاموش شدن به علت نوسان خازن خروجی سوئیچ‌ها و سلف‌های تانک ظاهر می‌شوند. کلیه شکل موج‌ها صرف نظر از ناکاملی‌های مربوط به اثر المان‌های پارازیتی با نتایج تحلیل تئوری سازگاری دارد.

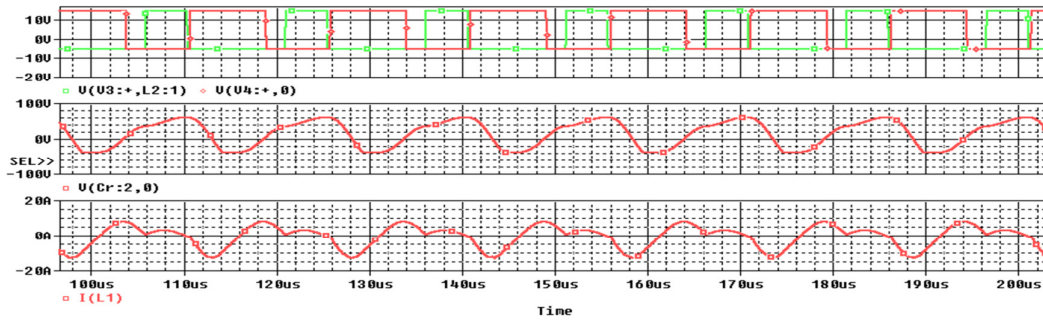
### ۷- نتیجه

در این مقاله یک مبدل رزناسی جدید LLC نوع کاهنده با پلاریته ولتاژ معکوس ارائه شده است. مبدل پیشنهادی برای کاربردهایی که نیاز است ولتاژ منفی از یک ولتاژ مثبت حاصل شود، استفاده می‌گردد. همه المان‌های نیمه هادی در شرایط سوئیچینگ نرم عمل می‌کنند که بازده بالا و EMI پایین را نتیجه می‌دهد. نتایج عملی آنالیز تئوری را تأیید می‌کند.

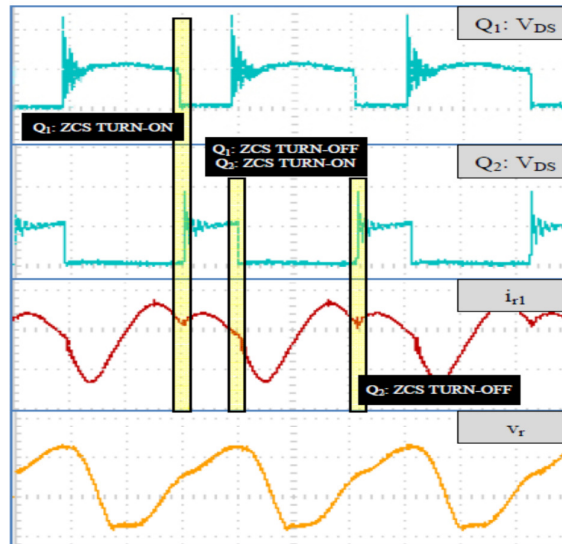


شکل (۶): مبدل ارائه شده در نرم افزار orcad  
Fig. (6): Simulated converter in orcad

مطابق با این شکل، شرایط سوئیچینگ نرم از نوع سوئیچینگ تحت جریان صفر برای هر دو سوئیچ در لحظات خاموش و روشن شدن فراهم شده است. دیود یکسوساز نیز تحت ولتاژ صفر روشن و تحت

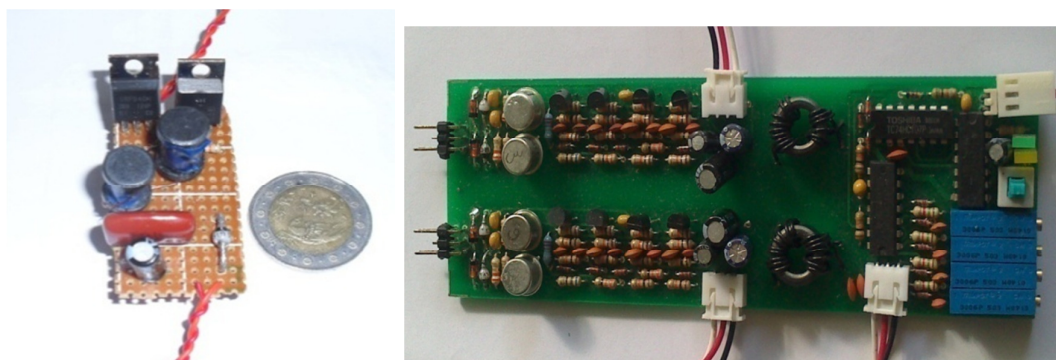


شکل (۷): به ترتیب از بالا به پایین ولتاژ  $V_{GS1}$  و  $V_{GS2}$ ، ولتاژ رزناسی، جریان رزناسی  
Fig. (7): Simulated Results, respectively from the top:  $V_{GS1}$  &  $V_{GS2}$ , Ir and Vr



شکل (۸): نتایج عملی، به ترتیب از بالا: استرس ولتاژ سوئیچ  $Q_1$  (50 v/div)، استرس ولتاژ سوئیچ  $Q_2$  (50 v/div)، جریان رزناسی (200 mA/div)، ولتاژ رزناسی (50 v/div)، با مقیاس زمانی 5μs/div

Fig. (8): Practical Results, respectively from the top:  $V_{DS}$  of  $Q_1$  (50V/div),  $V_{DS}$  of  $Q_2$  (50V/div),  $I_{r1}$  (200mA/div), and  $V_r$  (50V/div). Time scale=5μs/div.



شکل (۹): شکل مدار عملی (مدار قدرت و درایور)  
 Fig. (9): Implemented converter and driver circuit.

### References

- [1] N. Mohan, T.M. Undelan, W.P. Robbins, Power Electronics Converters, Applications and Design, John Wiley & Sons, 3rd ed,2002.
- [2] K.H. Liu, R.Oruganti, F.C.Lee,“Quasi-resonant converters – topologies and characteristics”,IEEE Trans. on Power Electron., 2, (1), pp. 62–71, 1987.
- [3] D. Maksimovic, S. Cuk, “A general approach to synthesis and analysis of quasi-resonant converters”, IEEE Trans on Power Electron., 6, (1), pp. 127–140, 1991.
- [4] B.T. Lin, Y.S. Lee, “A unified approach to modeling, synthesizing, and analyzing quasi-resonant converters”, IEEE Trans. on Power Electron., 12, pp. 983–992, 1997.
- [5] A.K.S. Bhat, F.D. Tan,“A unified approach to characterization of PWM and quasi-PWM switchingconverters: topological constraints, classification, and synthesis”, IEEE Trans. on Power Electron., 6, (4), pp. 719–725
- [6] K.W.E. Cheng,“New generation of switched capacitor converters”, IEEE/PESC, 2, pp. 1529–15035, 1998.
- [7] K.W.E. Cheng,“Zero-current-switching switched-capacitor converters”, IEE Proc., Electrical. Power ppl., 2001, 148, pp. 403–409, 2001.
- [8] Y.P.B. Yeung, K.W.E. Cheng, D. Sutanto, “Multiple and fractional voltage conversion ratios for switched-capacitor resonant converters”, IEEE/PESC, pp. 1289–1294, 2001.
- [9] Y.P.B. Yeung, K.W.E. Cheng, S.L. Ho, K.K. Law, D. Sutanto,“Unified analysis of switched- capacitor resonant converters”, IEEE Trans. on Ind. Electron., 51, (4), pp. 864–873, 2004.
- [10] Y.P.B. Yeung, K.W.E. Cheng, D. Sutanto, S.L. Ho,“Zero-current switching switched-capacitor quasi resonant step-down converter”, IEE Proc., Electrical. Power Appl., 149, (2), pp. 111–121, 2002.
- [11] M. Shoyama, T. Naka, T. Ninomial,“Resonant switched capacitor converter with high efficiency”, IEEE/PESC, pp. 3780–3786, June 2004.
- [12] K.K. Law, K.W.E. Cheng, Y.P.B. Yeung,“Design and analysis of switched-capacitor-based step-up resonant converters”, IEEE Trans. on Circuits Sys., 52, (5),pp. 943–948, 2005.
- [13] A. Ioinovici, H.S.H. Chung, M.S. Makowski, C.K. Tse, “Comments on unified analysis of switched- capacitor resonant converters”, IEEE Trans. on Ind. Electron., 54, (1), pp. 684–685, 2007.
- [14] E.E. Buchanan, E.J. Miller,“Resonant switching power conversion technique”, IEEE/PESCC, pp. 188–193, 1975.
- [15] R.L. Steigerwald,“A comparison of half-bridge resonant converter topologies”, IEEE Trans. on Power Electron., 3, (2), pp. 174–182, 1998.
- [16] M. Jabbari H. Farzanefard,“Family of soft switching resonant dc–dc converters”, IET Power Electron., 2, (2), pp. 113–124, 2009.
- [17] C R.T. Hen, Y.Y. Chen,“Single-stage resonant converter with power factor correction”, IET Electrical. Power Appl., 1, (3), pp. 368–376, 2007.
- [18] A.K.S. Bhat : “Analysis and design of a series-parallel resonant converter”, IEEE Trans. Power Electron., 8, (1), pp. 1–11, 1993.
- [19] M. Jabbari H. Farzanefard “Resonant inverting-buck converter”, IET Power Electronics, Vol.3, No.43,pp.571-577, 2010.
- [20] M. Jabbari H. Farzanefard, “Analysis and experimental results of switched-resonator-based buck-boost and inverting-buck converters”,IEEE/PEDG,pp.412-416, 2010.